

## Смесенослоести биотит-вермикулити от известителна кора в Западните Родопи

Дечко Стефанов

Stefanov, D. 1994. Interstratified biotite-vermiculites from a weathering crust in Western Rhodopes. — *Geochem., Mineral. and Petrol.*, 29, 7-16.

A great variety of randomly interstratified minerals of the biotite-vermiculite type has been found in weathered biotite schists near the village of Krushevo (Western Rhodopes). Natural samples and grain-size fractions of 0.05-0.01 mm and below 0.01 and 0.002 mm were examined. All samples contain various proportions of the two main groups of interstratified biotite-vermiculites characterized by the following quantities of constituent vermiculite layers ( $w_{(B)}$ ):  $0 < w_{(B)} \leq 0.1$  and  $0.3 \leq w_{(B)} \leq 0.5$ .

The natural sample and the 0.05-0.01 mm fraction are dominated by interstratified biotite-vermiculites of  $w_{(B)}=0.45$  and 0.33 with a minimum quantity of various representatives of the other group having  $0 < w_{(B)} \leq 0.1$ . The grain-size fractions finer than 0.01 and 0.002 mm are characterized by interstratified minerals of  $w_{(B)} \sim 0.08-0.09$  as the predominant constituent and minor quantities of  $w_{(B)} > 0.3$  varieties.

The X-ray diffractometry data are used as criteria for evaluating the degree of hydration of the original trioctahedral micas on the basis of the quantity of interstratified biotite-vermiculites present and of the ratio between the constituent biotite and vermiculite layers.

*Key words:* interstratified biotite-vermiculites, X-ray diffractometry, weathering crust, hydration, Western Rhodopes.

*Address:* Bulgarian Academy of Sciences, Geological Institute, 1113 Sofia.

Изветителната кора в Западните Родопи (Гоцеделчевско) е изучена от Тодорова (1986). Минералният състав на глините, които я изграждат, е определен чрез дериваторграфски изследвания на естествени образци и фракции под 0,002 mm. Установен е следният полиминерален състав: монтморилонит, байделит, хидрослюда и каолинит. За образец 95а от биотитовите шисти е установена тенденция към образуване на хидрослюди по биотита.

Обект на изследването са засегнати от известителните процеси биотитови шисти от докамбрийски метаморфни скали от района на с. Крушево, Гоцеделчевско (Тодорова, 1986)<sup>1</sup>.

Чрез детайлни рентгенодифрактометрични изследвания се прецизира минералният състав на известелите биотитови шисти, кристалохимичните характеристики на присъстващите филосиликати и се правят някои генетични изводи въз основа на минераложките данни.

<sup>1</sup> Пробите, включително и различните фракции, са любезно предоставени от Т. Тодорова, за което авторът ѝ изказва сърдечна благодарност.

## Материали и методика на изследванията

Изследван е обр. 95 от изветрели биотитови шисти от района на с. Крушево, Гоцеделчевско, от който са изучени: а) РД-639 — нефракционирана проба — не е отделена фракция по гранулометричен състав, а е обработена с електромагнит и бромоформ, като е изучен по-лекият компонент; б) РД-638б — фракция 0,05—0,01 mm; в) РД-638а — фракция под 0,01 mm и г) РД-638 — фракция под 0,002 mm.

Рентгеновите дифракционни спектри са заснети на автоматичния рентгенов дифрактометър D-500, Сименс, на медно, монохроматично лъчение, със скорост на брояча  $1^\circ/\text{min}$  или  $2^\circ/\text{min}$ . Използвани са пресовани плахови препарати, които са частично ориентирани и затова се регистрират, както базалните рефлекси, така също и рефлексите  $hkl$ .

## Минерален състав на изветрителните продукти

Рентгеновата дифракционна картина на изследваните изветрителни продукти се отличава с голям брой рефлекси, малка част от които са тесни и симетрични, а по-голямата част са широки и много често с асиметричен профил. От анализа на рентгеновите данни се вижда, че изследваните материали са полиминерални смеси. Типични представители на триоктаедричните слюди, които в статията са означени като „биотит“, тъй като не е възможно да се разграничават отделните представители от редицата биотит — флогопит, не са установени. Регистрирани са силно интензивни, но широки и асиметрични рефлекси  $10,8$ — $10,3 \text{ \AA}$ , които в съответствие с останалите базални рефлекси отнасяме към неподредените смесенослоести биотит-вермикулити, които съдържат малък процент вермикулови слоеве. Някои от изследваните фракции имат дифрактограми с интензивни рефлекси около  $12 \text{ \AA}$ , които принадлежат на смесенослоести биотит-вермикулити, съдържащи относително голям процент (20—50%) вермикулови слоеве. Всички изследвани фракции имат серия от тесни и симетрични рефлекси, кратни на  $14,3 \text{ \AA}$ , които отнасяме към вермикулита.

Рентгеновата дифракционна картина не се влияе от насищането с органични течности (глицерин), следователно не присъствуват самостоятелни набъбващи минерали, нито смесенослоести минерали с набъбващи слоеве. Разграничаването на вермикулита от смесенослоестите биотит-вермикулити е направено въз основа на рефлексите  $24$ ,  $12$  и  $3,52 \text{ \AA}$  за биотит-вермикулите и  $14,4$  и  $3,57 \text{ \AA}$  за вермикулита (Сегпу, 1972; Cötzinger, 1986).

Повечето от фракциите съдържат и малки количества кварц, а фракцията под  $0,002 \text{ mm}$  само примес от този минерал.

Сложният минерален състав на изследваните изветрителни продукти, съдържащи смесенослоести биотит-вермикулити, вермикулит и кварц е причината понякога трудно да се разграничават отделни самостоятелни рефлекси на определен минерал, които да послужат за определяне на едни или други кристалохимични характеристики.

# Кристалохимични характеристики на филосиликатите

## Вермикулит

Рентгеновата дифракционна картина на вермикулита се отличава със серия тесни и симетрични базални рефлекси  $14,4, 7,2, 2,86 \text{ \AA}$  и други, които са слабо интензивни, следователно вермикулитът присъствува с малки количества в изследваните изветрителни продукти.

Въз основа на рентгенодифрактометричните данни могат да се определят типът и количеството на обменните катиони на вермикулитите. Като се има предвид, че Mg-вермикулит има  $d_{(001)}=14,34 \text{ \AA}$ , Ca-вермикулит —  $d_{(001)}=14,98 \text{ \AA}$ , а анализираният вермикулит —  $d_{(001)}=14,46 \text{ \AA}$ , може да се направи изводът, че той съдържа главно Mg-обменни катиони, но така също и неголямо количество Ca-обменни катиони, следователно може да се характеризира като (Mg, Ca)-вермикулит.

## Смесенослоести биотит-вермикули

Смесенослоестите минерали, които съдържат биотитови и вермикулитови слоеве, имат еднакви силикатни слоеве и само различни междуслоеви пространства, тъй като биотитът съдържа  $K^+$  катиони, а вермикулитът —  $Mg^{2+}$  и  $Ca^{2+}$  катиони и слоеве водни молекули. В статията се използват наименованията, препоръчани от Номенклатурния комитет на АИРЕА за смесенослоестите минерали (Bailey, 1982). Специално за смесенослоестите биотит-вермикули се използва наименованието „хидробиотит“ за подредения 1:1 смесенослоест биотит-вермикулит, а за всички останали — неподредени смесенослоести биотит-вертикули.

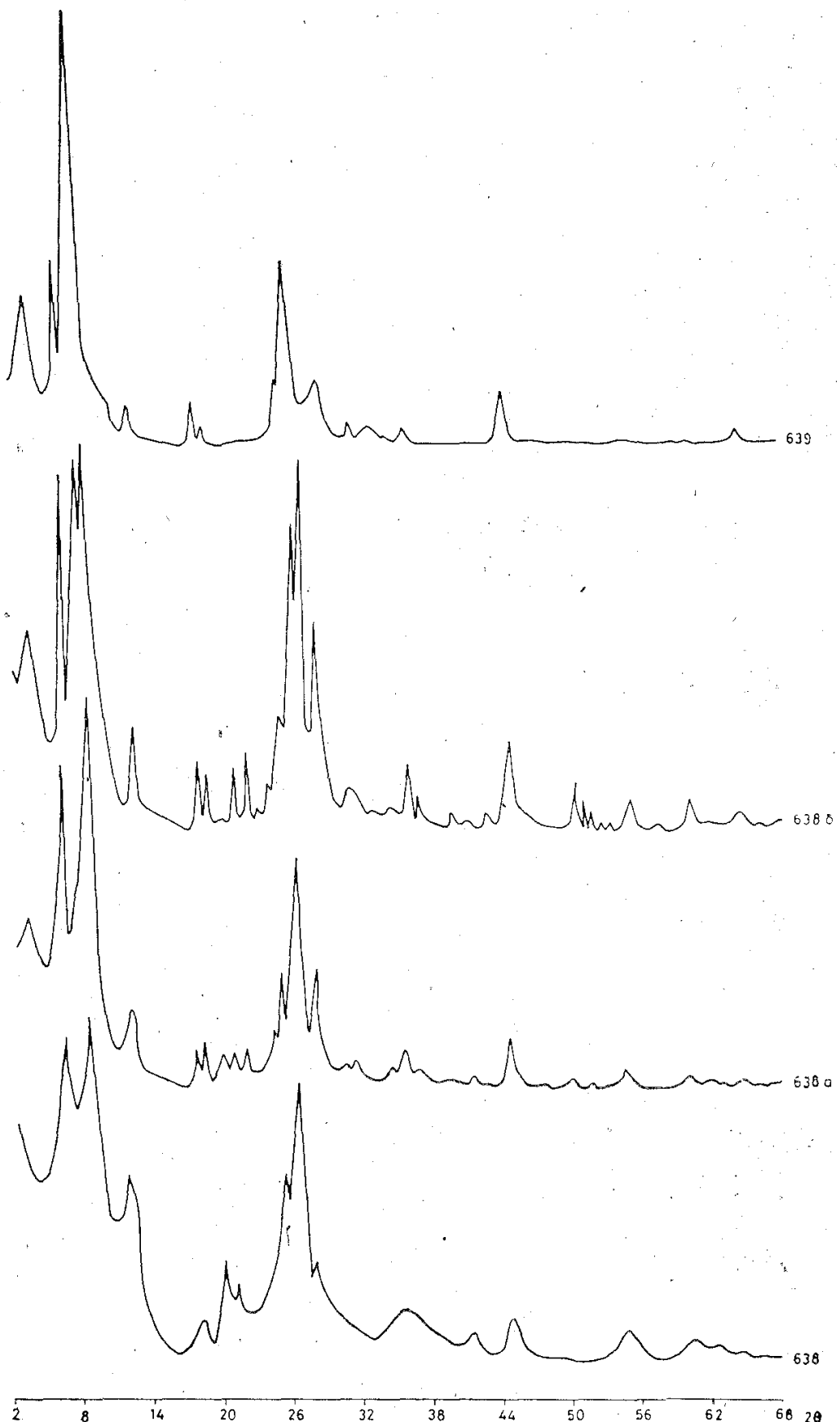
Смесенослоестите биотит-вермикули имат разнообразни дифракционни картини, което се обуславя от: а) химическите разновидности; б) структурните разновидности и в) нееднородността на природните образци (Дъяконов, 1964).

Различията в дифракционните картини (фиг. 1 и 2) на изследваните материали се дължат и на трите споменати фактора, които ще бъдат разгледани съвместно, тъй като те се проявяват едновременно и са взаимно свързани.

За степента на изветряне, респективно хидратацията на биотита, се съди по характера на рентгеновата дифракционна картина. За целта се анализират освен междуплоскостните разстояния и интензитетите на базалните рефлекси, така също и конфигурацията (профилът) на същите, тъй като понякога те са тесни и симетрични, а в други случаи са широки и асиметрични.

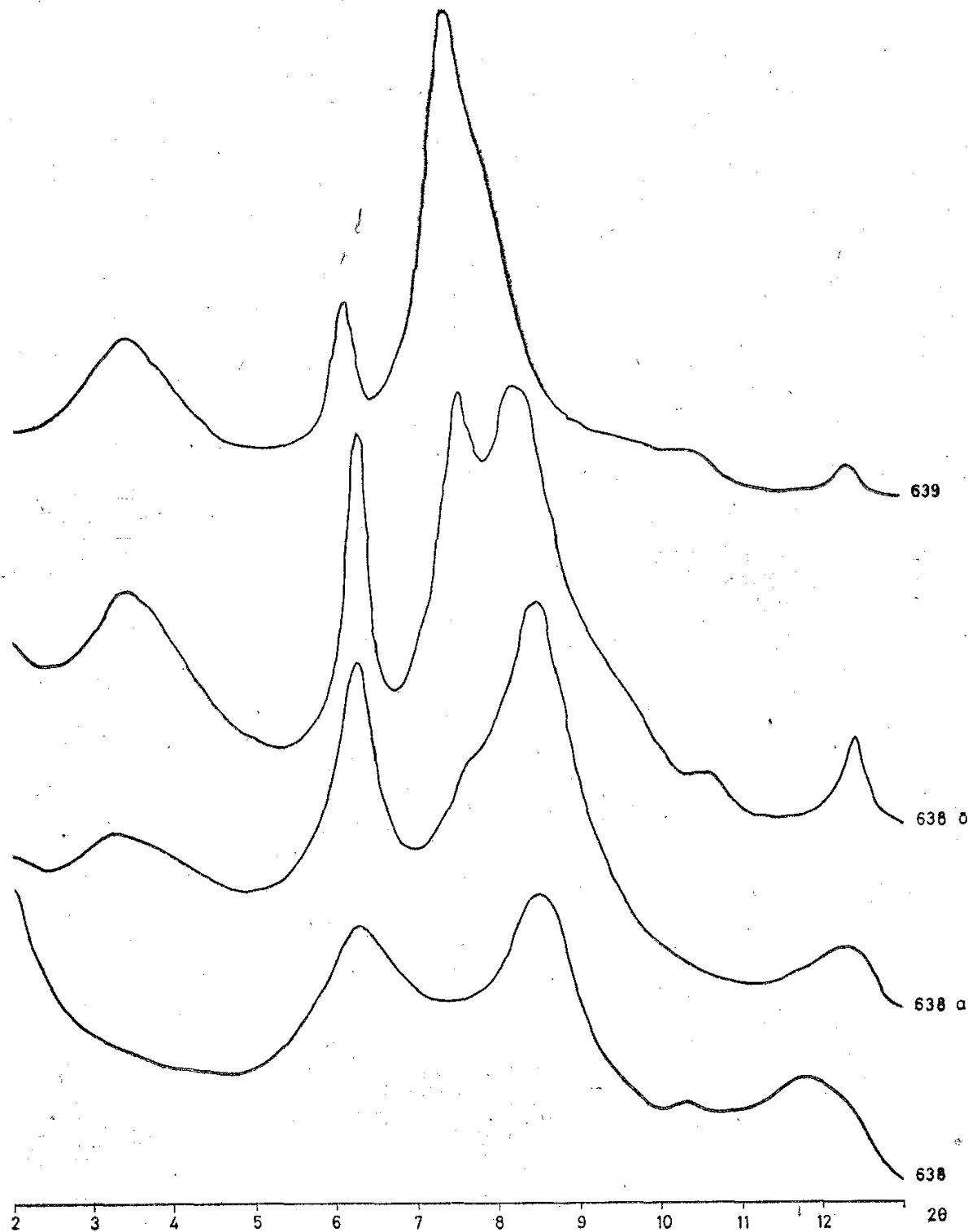
При най-началните стадии на хидратацията биотитовият рефлекс  $10 \text{ \AA}$  се разширява и леко се премества към страната на малките браговски ъгли. Наблюдава се също разширение и отслабване на 003 и 004. С увеличаване на хидратацията 001 се разцепва на два рефлекса при  $10,5$  и  $8,9 \text{ \AA}$ , а между 003 и 004 се появяват нови рефлекси при  $3,17$  и  $2,6 \text{ \AA}$ . Като допълнителен критерий за малка хидратация може да послужи разширението на 006 и 008 спрямо 007, който не се изменя от хидратацията. При количество на вермикулитовите слоеве около 30% ( $w_{(B)}=0,3$ ) се наблюдава преместване на рефлекса  $10,6 \text{ \AA}$  до  $11,4 \text{ \AA}$ , като заедно с това се изменя положението на цялата съвкупност от базални рефлекси (Дъяконов, 1964, 1981).

Всички описани особености на рентгеновата дифракционна картина на смесенослоестите биотит-вермикули се наблюдават на дифрактограф



Фиг. 1. Дифрактограми ( $2\theta = 2 \div 68^\circ$ ) на неподредени смесенослоести биотит-вермикулита и вермикулит от обр. 95, известнял биотитов шист от с. Крушево: 639 — нефракционирана проба (обработена с електромагнит и бромоформ); 638б — фракция 0,05—0,01 mm; 638 — фракция под 0,01 mm; 638а — фракция под 0,002 mm, Cu K $\alpha$ -льчение

Fig. 1. X-ray powder diffraction patterns ( $2\theta = 2 \div 68^\circ$ ) of randomly interstratified biotite-vermiculites and vermiculite from sample 95, weathered biotite schist, Krushevo: 639 — natural sample (treated by electromagnet and bromophorm); 638 — fraction 0,05—0,01 mm; 638a — fraction < 0,01 mm; 638 — fraction < 0,002 mm; CuK $\alpha$ -radiation



Фиг. 2. Детайл от фиг. 1 ( $2\theta = 2 \div 13^\circ$ )  
Fig. 2. Detail of Fig. 1 ( $2\theta = 2 \div 13^\circ$ )

мите от изследваните фракции от обр. 95. Следователно може да се направи предварителният извод, че в изследваните материали е регистрирано голямо разнообразие от смесенослоести биотит-вермикулити, съдържащи от 0 до около 50% вермикулови слоеве.

Нашите експериментални данни потвърждават твърдението на Дъяконов (1981), че в природата се срещат най-често смесенослоести биотит-вермикулити с  $0 < w_{(B)} \leq 0,1$  и  $0,3 \leq w_{(B)} \leq 0,5$ . Тези от първата група имат дифракционна картина, близка до тази на биотита с всички споменати по-

горе особености. Смесенослоестите минерали от втората група имат дифракционни картини, които са близки до тази на хидробиотита, обаче с по-големи или по-малки отклонения в  $d_{(001)}$  и интензитета на базалните рефлекси.

Чрез експерименталните рентгенодифрактометрични данни от изследваните материали добре се илюстрира влиянието на нееднородността на изветрителните продукти. В един и същ образец присъстват смесенослоести биотит-вермикулити с различно количество вермикулови слоеве (от минимално до близо до 50%), както и типичен вермикулит.

Рентгеновите дифракционни спектри се получават чрез участието на голям брой кристалити и затова методът се счита за статистически. Силно интензивните, резки и симетрични базални рефлекси от смесенослоестите биотит-вермикулити характеризират съвкупност от голям брой кристалити, съдържащи едно и също количество вермикулови слоеве. Смесенослоести минерали с други съотношения биотит/вермикулит, но с малки количества в пробата, не могат да формират самостоятелни рефлекси, тъй като те се наслагват със съседни близки рефлекси и в резултат на това се получава деформация на обичайно симетричния профил на базалните рефлекси, която се изразява като разширение и асиметрия в определена посока. Точно такива дифракционни картини се наблюдават в изследваните изветрителни продукти.

При анализа на експерименталните дифракционни картини на смесенослоестите биотит-вермикулити най-голямо внимание е отделено на най-интензивния рефлекс 001/002 ( $001_{\text{биотит}}/002_{\text{хидробиотит}}$ ) (фиг. 2). Ако се съпоставят  $d_{(001/002)}$  на нефракционираната проба (РД-639) — 12 Å, фракцията 0,05—0,01 mm (РД-638б) — 11,7 и 10,8 Å, фракцията под 0,01 mm (РД-638а) — 10,4 Å и фракцията под 0,002 mm (РД-638) — 10,3 Å, се наблюдава тенденция към намаляване стойностите на  $d_{(001/002)}$ . Този експериментален факт може да се тълкува като признак за намаляване на количеството на вермикуловите слоеве в смесенослоестите биотит-вермикулити в същия ред.

На дифрактограмата от нефракционираната проба (РД-639) е регистриран силно интензивен рефлекс с максимум около 12 Å, който се разглежда като 001/002 на смесенослоест минерал, близък до хидробиотита. Профилът на същия обаче се характеризира със значителна ширина и добре изразена асиметрия към големите браговски ъгли, без да могат да се разграничват отделни максимуми (фиг. 2). Тази асиметрия се интерпретира като доказателство за присъствие на цяла поредица от неподредени смесенослоести биотит-вермикулити, съдържащи от 0 до около 50% вермикулови слоеве. Количеството на тези минерали обаче е незначително и затова тяхното сумарно влияние се изразява чрез деформацията на най-интензивните рефлекси към страната на по-малките междуплоскостни разстояния, където те биха се регистрирали. Наличието на интензивен максимум около 12 Å характеризира присъствието на преобладаваща смесенослоест биотит-вермикулит с точно определено съотношение биотит/вермикулит, който ще бъде подробно анализиран.

Дифракционната картина на фракцията 0,05—0,01 mm (РД-638б) се характеризира с два максимума в същата дифракционна област — 11,7 и 10,8 Å и отново плавно спадане на интензитета към големите браговски ъгли (фиг. 2). Предлага се следната интерпретация: а) присъстват със значителни количества два добре обособени смесенослоести минерала със самостоятелни дифракционни картини, обаче съдържащи различни количества вермикулови слоеве, и б) присъствува съвкупност от неподредени смесенослоести биотит-вермикулити (с малки количества на всеки един от

тях) с различни, но близки помежду си количества на вермикулитовите слоеве.

Дифракционната картина на фракцията под 0,01 mm (РД-638а) в тази област съдържа само един широк и дифузен рефлекс с максимум около 10,4 Å, който има ясно изразена асиметрия към малките браговски ъгли и дори слабо загатнат рефлекс около 11—12 Å, а така също и плавно спадане на интензитета към големите браговски ъгли. Тази фракция съдържа смесено-слоест минерал с твърде различни съотношения биотит/вермикулити, обаче с малки количества и затова се получава този характерен профил на рефлекса 001/002.

Дифракционната картина на фракцията под 0,002 mm (РД-639) по общия си характер напълно съвпада с картината за фракцията под 0,01 mm (РД-638а). Интерпретацията на дифракционните данни е същата, както за РД-638а.

Ще разгледаме по-подробно структурните и химичните особености на регистрираните смесенослоести биотит-вермикулити.

На дифрактограмите от нефракционираната проба (РД-639) и фракцията 0,05—0,01 mm са регистрирани серия от базални рефлекси до 007/00.18, междуплоскостните разстояния на които съответстват на средни стойности за  $d_{(001)}$ , както следва: РД-639 —  $d_{(001)} = 24,43 \text{ \AA}$  и коефициент на вариациите —  $CV = 0,97$ ; РД-638б —  $d_{(001)} = 24,12 \text{ \AA}$  и  $CV = 2,44$ . От тези данни следва, че и двете преби не отговарят на изискванията за подредени смесенослоести минерали (Bailleу, 1982) и затова се приема, че присъстват неподредени смесенослоести биотит-вермикулити.

За уточняване на структурните и химичните особености на анализираните смесенослоести биотит-вермикулити с  $w_{(B)} > 0,3$  са използвани методиките на Дъяконов (1981) и Grindley et al. (1983).

При непосредствено сравняване на експерименталните данни с табличните и графичните данни от статията на Grindley et al. (1983), построени чрез компютърната програма на Рейнолдс, специално пригодена за смесенослоестите биотит-вермикулити и модифицирания метод на Меринг, се установява присъствие на около 45% вермикулитови слоеве за РД-639 и 40% за РД-638б.

По методиката на Дъяконов (1981) се отчита комбинираното влияние върху междуплоскостните разстояния на базалните рефлекси, както на количеството на вермикулитовите слоеве ( $w_{(B)}$ ), така също и на количеството на Ca-обменни катиони ( $f_{Ca}$ ) във вермикулитовите междуслоеве. Използването на миграционните криви на Дъяконов показва присъствие на 40—42% вермикулитови слоеве за РД-639 и 38% за РД-638б.

След прилагането на математическите зависимости между дифракционните данни (Дъяконов, 1981) се получиха следните крайни резултати.

Нефракционираната проба (РД-639) съдържа смесенослоест минерал със серия базални рефлекси с  $d_{(001)} = 24,43 \text{ \AA}$  и  $CV = 0,97$ , 43% вермикулитови слоеве ( $w_{(B)} = 0,43$ ) с 6% Ca-обменни катиони ( $f_{Ca} = 0,06$ ) и  $d_{(001)(MgCa)} = 14,39 \text{ \AA}$ . Въз основа на тези характеристики следва, че тази проба съдържа неподреден смесенослоест биотит-вермикулит с тенденция към подреждане.

Фракцията 0,05—0,01 mm (РД-638б) съдържа смесенослоест минерал със серия базални рефлекси с  $d_{(001)} = 24,12 \text{ \AA}$  и  $CV = 2,44$ , 33% вермикулитови слоеве ( $w_{(B)} = 0,33$ ) с 25% Ca-обменни катиони ( $f_{Ca} = 0,25$ ) и  $d_{(001)(MgCa)} = 14,51 \text{ \AA}$ . Тези характеристики са типични за неподредените смесенослоести биотит-вермикулити.

От същия тип неподредени смесенослоести биотит-вермикулити ( $w_{(B)} \sim 0,3 \div 0,5$ ) присъстват с много малки количества и във фракциите под

0,01  $\text{мм}$  (РД-638а) и 0,002  $\text{мм}$  (РД-638). Те нямат самостоятелни дифракционни рефлекси, чрез които да се уточнят техните кристалохимични характеристики. Тяхното присъствие се предполага въз основа на асиметрията на пика 001/002 към страната на малките браговски ъгли, а на някои дифрактограми се наблюдава само загатнат рефлекс около 11—12  $\text{\AA}$ , който не е добре обособен (фиг. 2).

Неподредените смесенослоести биотит-вермикулти със самостоятелни дифракционни картини, съдържащи до 10% вермикулитови слоеве, са представени като преобладаващ компонент в РД-638а и РД-638. Използването на миграционните криви и табличните данни на Дъяконов (1981) показва, че те притежават около 8—9% вермикулитови слоеве ( $w_{(B)} = 0,08 \div 0,09$ ).

Смесенослоестите биотит-вермикулти, които нямат обособени самостоятелни базални рефлекси, а се проявяват само като асиметрия на базалните рефлекси, не могат да бъдат характеризирани нито по отношение количеството на вермикулитовите слоеве, нито по вида и количеството на обменните катиони.

Дифракционните рефлекси на вермикулита (особено 001) от РД-639, 638б и 638а са типични за този минерал — тесни и симетрични (фиг. 1 и 2). Изключение правят вермикулитовите рефлекси от РД-638. Те са широки и ясно изразена асиметрия към страната на големите браговски ъгли, което се счита (Дъяконов, 1964) като доказателство за присъствие на много малки количества биотитови междуслоеие в структурата на вермикулита.

### Генетични бележки въз основа на минераложки данни

Смесенослоестите биотит-вермикулти се образуват най-често при процесите на природната хидратация на биотита (Дъяконов, 1964). Изследваните изветрели биотитови шисти от с. Крушево, Гоцеделчевско, са подходящ обект за генетични тълкувания въз основа на минераложките данни за техния състав. Установяването на няколко представители от смесенослоестите биотит-вермикулти с различно количество вермикулитови слоеве, както и на типичен вермикулит позволява да се възприеме следното генетично тълкувание. Първоначалните биотитови шисти са съдържали като първични минерали представители от редицата биотит-флогопит с различно съдържание на желязо. По време на изветрителните процеси се е осъществила хидратация, в резултат на която  $K^+$  обменни катиони от междуслоевете на биотита постепенно се заместват от  $Mg^{2+}$  и  $Ca^{2+}$  обменни катиони заедно с водни молекули при едновременното окисление на  $Fe^{2+}$  в  $Fe^{3+}$  и неговото частично изнасяне (Лълова, Дъяконов, 1973). По този начин част от биотитовите междуслоеие се превръщат във вермикулитови междуслоеие и така се формират смесенослоестите биотит-вермикулти с все по-нарастващ брой вермикулитови слоеве, докато се оформи крайният продукт — вермикулитът. Следователно този процес схематично може да се представи като редицата биотит-флогопит  $\rightarrow$  смесенослоести биотит-вермикулти  $\rightarrow$  вермикулит.

Изследваната проба 95 представлява типичен пример, когато процесът на хидратацията засяга в различна степен отделни участъци от образца. Това е в съгласие с изводите на Weiss (1980), че праховата дифрактометрия дава средни стойности за количествата на двата типа слоеве и начина на подреждането им, докато монокристалните рентгенови изследвания показват, че количествата на двата типа слоеве и начинът на подреждането им варират от точка в точка.

## Заключение

Въз основа на рентгенодифрактометричните изследвания на няколко различни по гранулометричен състав фракции от обр. 95 от известрели биотитови шисти в с. Крушево, Гоцеделчевско, могат да се направят следните обобщения:

1. Известрителните продукти съдържат като основни компоненти представители от смесенослоести биотит-вермикулити, които съдържат различни количества вермикулови слоеве. Второстепенен компонент е вермикулът, който във фракцията под 0,002 mm съдържа минимални количества биотитови слоеве.

2. Разпределението на неподредените смесенослоести биотит-вермикулити в различните фракции от обр. 95 е следното: а) представителите с  $0,3 \leq w_{(B)} \leq 0,5$ , които имат дифракционна картина, близка до хидробиотита, са преобладаващият компонент в нефракционираната проба с  $w_{(B)} = 0,43$ , присъстват с големи количества във фракцията 0,05—0,01 mm с  $w_{(B)} = 0,33$  и с много малки количества във фракциите под 0,01 и 0,002 mm; б) представителите с  $0 < w_{(B)} \leq 0,1$  присъстват с големи количества във фракциите под 0,002 и 0,01 mm, както и в 0,05—0,01 mm и с много малки количества в нефракционираната проба. Очевидна е тенденцията за обогатяване на по-едрите фракции със смесенослоести биотит-вермикулити с по-голям процент вермикулови слоеве.

3. Известрителният процес е обхванал изцяло биотитовите шисти, тъй като не са регистрирани първични биотит-флогопити. Процесът обаче не е завършил напълно, защото крайният продукт — вермикулът, присъствува с малки количества. Наличието на смесенослоести биотит-вермикулити с различно съдържание на вермикулови слоеве като преобладаващи компоненти показва, че те са продукти от частична хидратация, която се е осъществила с различна активност в различните части на известрителните продукти.

4. Рентгенодифрактометричните изследвания на известрителните продукти, получени за сметка на триоктаедрични слюди (биотит-флогопити), позволяват не само да се регистрира известрителният процес, но и да се даде приблизителна оценка за неговата активност и стадийност чрез характера на рентгеновата дифракционна картина на известрителните продукти.

## Литература

- Дъяконов, Ю. С. 1964. Рентгенографическое определение смешанослойных минералов (гидробиотитов), промежуточных между биотитом и вермикулитом. — В: Рентгенография минерального сырья, М., Недра, 4, 135—144.
- Дъяконов, Ю. С. 1981. Новые данные о разновидностях и идентификации гидробиотитов. — В: Кристаллохимия минералов, Л., Наука, 39—46.
- Лъвова, И. А., Ю. С. Дъяконов, 1973. К минералогии вермикулитов месторождений СССР. — Тр. ВСЕГЕИ, нов. сер., 166, № 3, 110—145.
- Тодорова, Т. 1986. Известрителна кора в Южен Пирин и Западните Родопи. — Геохим., минерал. и петрол., 20—21, 155—165.
- Bailey, G. W. 1982 Nomenclature for regular interstratification. — Amer. Mineral., 67, 3—4, 394—398.
- Brindley, G. W., P. E. Zalba, G. M. Bethke. 1983. Hydrobiotite, a regular 1:1 interstratification of biotite and vermiculite layers. — Amer. Mineral., 68, 3—4, 420—425.
- Сегпу, Р. В. 1972. Phlogopite, hydrophlogopite and vermiculite from Hermanov, Czechoslovakia. — N. Jb. Mineral. Mh. 5, 203—209.

- Göttinger, M. A. 1986. Continuous biotite-hydrobiotite-vermiculite transitions in the original specimen "Hydrobiotit" Schauf (1882), from serpentinites near Kremze, ČSSR. — N. Jb. Mineral. Mh., 4, 163—171.
- Weiss, Z. 1980. Single-crystal X-ray study of mixed structures of vermiculite and biotite (hydrobiotites). — Clay Miner. 15, 275—281.

Одобрена на 1. VII. 1991 г.

Accepted July 1, 1991